

# ACTUALITÉS SCIENTIFIQUES

## DÉCOUVERTE RÉCENTE

### Boncuklu Tarla

#### Un nouveau site du Néolithique précéramique en Anatolie Orientale

Ergül KODAŞ

Les fouilles archéologiques réalisées à Çayönü (Erim-Özdoğan, 2011a), Hallan Çemi (Rosenberg, 2011a) et Demirköy (Rosenberg, 2011b), Gusir Höyük (Karul, 2011), Körtik Tepe (Özkaya et Coşkun, 2011), Hasankeyf Höyük (Miyake *et al.*, 2012) et Sümaki Höyük (Erim-Özdoğan, 2011b), ont jeté certaines lumières sur le phénomène de la néolithisation dans la vallée du haut Tigre, en Turquie. Le site de Boncuklu Tarla représente une nouvelle opportunité de comprendre ce processus, qui reste encore largement méconnu. Il s'agit aussi d'une occasion unique de retracer la chronologie complète du néolithique précéramique depuis l'Épipaléolithique jusqu'à la fin du PPNB récent.

Le site de Boncuklu Tarla est situé dans le district de Dargeçit (fig. 1), à environ 125 km à l'est de Mardin, en Turquie. Il a été découvert en 2008 lors d'une prospection réalisée à proximité du barrage d'İlisu par T. Ökse, professeur à l'Université de Kocaeli (Ökse *et al.*, 2010), et fut prospecté la même année par H. Taşkıran et M. Kartal, professeurs de l'université d'Ankara (Taşkıran et Kartal, 2010 ; Kartal *et al.*, 2014). Les fouilles de 2012 ont été entreprises sous la direction de Nihat Erdoğan, directeur du musée de Mardin, auquel s'est associé en 2017, pour la direction scientifique, Ergül Kodaş de l'université de Mardin Artuklu.

#### Stratigraphie et architecture du site

Lors de ces deux campagnes de fouilles, une surface considérable a déjà pu être mise au jour. Près de 3 000 m<sup>2</sup> ont pu être fouillés sur une profondeur maximale de 1 m pour les secteurs et de 2,50 m pour les sondages. Grâce à une analyse rigoureuse de la stratigraphie, à la mise en place du tamisage systématique des sédiments, ainsi qu'à la réalisation de plusieurs datations radiocarbones, des résultats intéressants ont pu être obtenus indiquant la présence de six niveaux d'occupation à Boncuklu Tarla. Le niveau 1 correspond au PPNB récent; le niveau 2 au PPNB moyen (TÜBITAK-0012, 8508 ± 37 BP, calibrée) ; le niveau 3 au PPNB ancien (TÜBITAK-0199, 9207 ± 39 BP, calibrée) ; le niveau 4 à la période de transition du PPNA vers le PPNB; le niveau 5 au

PPNA (TÜBITAK-0201, 10399 ± 41 BP, calibrée) et le niveau 6 à l'Épipaléolithique.

L'architecture du PPNB moyen est l'élément le mieux connu du site à ce jour, mais des restes architecturaux du PPNB récent et du PPNA ont également été identifiés. On peut ainsi suivre l'évolution du plan circulaire vers le plan rectangulaire, du PPNA au PPNB, en passant par le plan sub-rectangulaire caractéristique (Karul, 2011 ; Stordeur, 2014; Miyake *et al.*, 2012) de la phase de transition du PPNA vers le PPNB. Nous n'avons pas encore identifié les caractéristiques de l'architecture du PPNB ancien, mais des sols et des murs en pierre de ce niveau ont été détectés dans les sondages.

Au PPNB récent, seuls deux bâtiments domestiques de plan cellulaire ont été identifiés dans les secteurs K 10 et L 10. Le bâtiment de plan cellulaire mis au jour dans le secteur L 10 est le mieux conservé. Il mesure environ 10 m de longueur pour 5,50 m de largeur, et présente douze cellules de tailles variables orientées de l'ouest vers l'est.

L'architecture du PPNB moyen est caractérisée par des habitations unicellulaires (6 × 5,5 m) et pluricellulaires (de 9 × 5,5 à 9 × 6 m). Celles-ci ont été identifiées uniquement dans la partie ouest du site. Tous les bâtiments domestiques du PPNB moyen se trouvent à l'ouest du Bâtiment au *terrazzo*, seul bâtiment communautaire mis au jour pour les niveaux du PPNB (fig. 2). Ce bâtiment communautaire mesure environ 15 m de long (est-ouest) et 13 m de large (nord-sud), ce qui correspond à environ 195 m<sup>2</sup> de superficie. Seule la pièce centrale comporte un sol en *terrazzo*. Autour de cette pièce, à l'ouest, au sud et au nord, se trouvent juxtaposées des pièces orientées est-ouest, chacune avec son entrée propre, ce qui nous a conduit à le qualifier de « complexe communautaire ». Par ailleurs, au sud, se trouve une pièce orientée ouest-est longeant ce dernier. Le Bâtiment au *terrazzo* possédait probablement quatre piliers disposés de façon symétrique au milieu de la pièce centrale, dont subsistent les bases et un sol tout à fait singulier, puisque réalisé en *terrazzo* peint de couleur rouge. Au PPNB récent, une des cellules du niveau ancien, jouxtant la partie ouest du bâtiment, a été fermée pour agrandir le Bâtiment au *terrazzo*. Ce



Fig. 1 – Localisation de Boncuklu Tarla avec, en encart, certains sites néolithiques précéramique de la vallée du Haut-Tigre (DAO : E. Kodaş et M. Sauvage).

nouveau sol a été peint en blanc. De ce fond, se détachent deux lignes rouges orientées est-ouest.

Des éléments architecturaux du PPNA et de la transition PPNA-PPNB ont été repérés dans le sondage réalisé dans le secteur K10 en 2012. En 2017, d'autres vestiges de ces niveaux ont été mis au jour dans la partie est du site. Dans le niveau attribué à la transition PPNA-PPNB, des maisons sub-rectangulaires, mesurant environ 10 m de longueur et 4 à 5 m de largeur, ont été mises en évidence, toutes unicellulaires. Pour le PPNA, seules deux structures circulaires ont été mises au jour dans la partie est du site, d'un diamètre approximatif de 1,5 à 2 m. Par ailleurs, un bâtiment circulaire, mesurant environ 5 m de diamètre, a été partiellement mis au jour dans la partie nord-ouest du site, le secteur O11.

### Industries lithiques

Le site de Boncuklu Tarla a fourni une industrie lithique très variée aussi bien par la diversité des types retrouvés que, surtout, des techniques employées (fig. 3). Au PPNB moyen, le débitage lamellaire par pression à partir de nucléus de formes conique, pyramidale, ou encore en balle de fusil est très présent. De surcroît, la découverte d'un atelier de taille dans le niveau du PPNB présente une production laminaire à partir de nucléus de

petite taille. Des nucléus naviformes ainsi que des lames débitées sur nucléus naviformes (débordantes, en epsilon, etc.) ainsi qu'à la pierre tendre ont aussi été retrouvés dans ce niveau, de même que des lames taillées par pierre tendre sur des nucléus unipolaires. Dans les niveaux du PPNB moyen et du PPNB récent, des pointes de flèche de type Byblos, Amuq et Nemrik ainsi que d'autres types de pointes de flèche à pédoncule ont été retrouvées en quantité surprenante (*BAI : Big Arrowheads Industries : Aurenche et Kozłowski, 2000, p. 103 ; Aurenche et Kozłowski, 2010*). Il faut également signaler la forte présence de microlithes dans les niveaux du PPNB moyen et du PPNB récent. Les industries lithiques des niveaux 4 et 5 sont, quant à elles, caractérisées par des microlithes sans retouches ou retouchés et des microlithes géométriques (segments de cercle, triangles, lamelles à dos, trapèzes) ainsi que des micro-burins et des *choppers*.

### Objets figuratifs

Les fouilles révèlent la présence exceptionnelle de parures en perles, le plus souvent en contexte funéraire. Certaines figurent des animaux, domestiques et sauvages. L'absence de figurines a été probablement compensée par la production de perles atypiques aux formes surprenantes, majoritairement de forme zoomorphique (taureau,

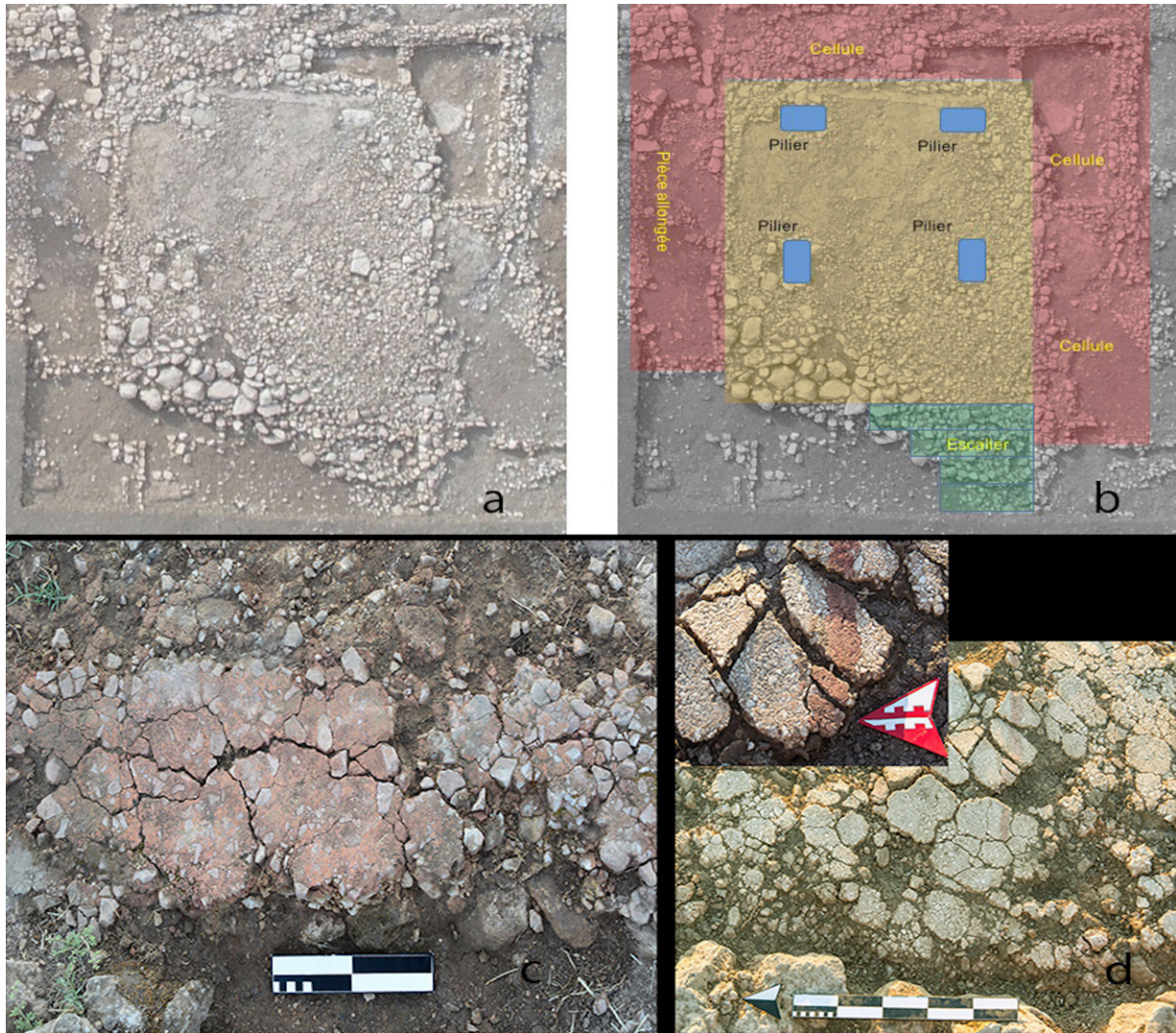


Fig. 2 – Vues du bâtiment communautaire : *Terrazzo Building* (archive mission Boncuklu Tarla).



Fig. 3 – Industries lithiques du PPNB moyen et du PPNA-PPNB transition, en bas à droite (archive mission Boncuklu Tarla).



Fig. 4 – Quelques exemples de parures du PPNB moyen (archive mission Boncuklu Tarla).

chèvre, cerf, scorpion, serpent, etc.) et rarement anthropomorphique (fig. 4). La présence de plus de 400 parures en malachite et en cuivre est particulièrement remarquable. Des bracelets, des pierres à rainure, des boucles d'oreille, des bouchons d'oreille, des jetons et des plaques en os ont également été découverts.

### Restes botaniques et d'animaux

Dans le niveau du PPNB moyen et récent, nous avons identifié plusieurs silos dans et à l'extérieur des maisons. Des analyses botaniques et archéozoologies le concernant sont en cours.

### Remarques et réflexions

Les données déjà réunies par les fouilles de Boncuklu Tarla nous présentent un site au riche potentiel dont la période d'occupation s'étend sur plus de 5 000 ans, environ entre 12 500 et 7 000 ans av. J.-C., d'après les datations du C14 calibrée et non calibrée. Il s'agit d'une opportunité sans précédent de revisiter dans sa continuité la chronologie du néolithique précéramique de la vallée du haut Tigre mais aussi d'apporter des éléments de compréhension nouveaux concernant l'apparition de l'agriculture, la sédentarisation des sociétés, leur composition et leurs interactions, l'évolution architecturale et l'organisation spatiale des villages ou les pratiques funéraires du Néolithique proche-oriental.

**Remerciements** : Je tiens adresser mes remerciements à Frédéric Abbes et Aslı Erim-Özdoğan pour leurs conseils et soutiens scientifiques, à Charlotte Labedan-Kodaş pour ses relectures, corrections et conseils, lesquels m'ont été très précieux.

### RÉFÉRENCES BIBLIOGRAPHIQUES

- AURENCHÉ O., KOZŁOWSKI S. K. (2000) – *La Naissance du Néolithique au Proche Orient*, Paris, Errance, 256 p.
- AURENCHÉ O., KOZŁOWSKI S. K. (2005) – *Territories, Boundaries and Cultures in the Neolithic Near East*, Oxford, Archaeopress (coll. BAR International Series, 1362), 275 p.
- ERIM-ÖZDOĞAN A. (2011a) – Çayönü, in M. Özdoğan, N. Başgelen et P. Kuniholm (dir.), *The Tigris Basin*, Istanbul, Archaeology and Art Publications (coll. Neolithic in Turkey, 1), p. 185-269.
- ERIM-ÖZDOĞAN A. (2011b) – Sümaki Höyük. A New Neolithic Settlement in the Upper Tigris Basin, in M. Özdoğan, N. Başgelen et P. Kuniholm (éd.), *The Tigris Basin*, Istanbul, Archaeology and Art Publications (coll. Neolithic in Turkey, 1), p. 19-60.
- KARTAL M., TAŞKIRAN H., BULUT K., DİNÇ O. (2014) – Yontmataş Bulgular Işığında Yukarı Dicle Havzası'nda Yeni Bir Neolitik Yerleşim : Boncuklu Tarla, *Ankara Üniversitesi Dil-Tarih Coğrafya Fakültesi Dergisi*, 54, p. 489-500 [en turc].
- KARUL N. (2011) – Gusir Höyük, in M. Özdoğan, N. Başgelen et P. Kuniholm (éd.), *The Tigris Basin*, Istanbul, Archaeology and Art Publications (coll. Neolithic in Turkey, 1), p. 1-17.
- MİYAKE Y., MAEDA O., TANNO K., HONGO H., GÜNDEM C. Y. (2012) – New Excavations at Hasankeyf Höyük: A 10<sup>th</sup> Millennium cal. BC Site on the Upper Tigris, Southeast Anatolia, *Neo-lithic*, 1, 12, p. 3-7.
- ÖZKAYA V., COŞKUN A. (2011) – Körtik Tepe, in M. Özdoğan, N. Başgelen et P. Kuniholm (dir.), *The Tigris Basin*, Istanbul, Archaeology and Art Publications (coll. Neolithic in Turkey, 1), p. 89-127.

- ÖKSE T., GÖRMÜŞ A., ATAY E. (2010) – Ilısu Barajı İnşaat Sahası 2008 Yüzey Araştırması, 27. *Araştırma Sonuçları Toplantısı*, 1, p. 333-349 [en turc].
- ROSENBERG M. (2011a) – Hallan Çemi, in M. Özdoğan, N. Başgelen et P. Kuniholm (dir.), *The Tigris Basin*, Istanbul, Archaeology and Art Publications (coll. Neolithic in Turkey, 1), p. 61-78.
- ROSENBERG M. (2011b) – Demirköy, in M. Özdoğan, N. Başgelen et P. Kuniholm (dir.), *The Tigris Basin*, Istanbul, Archaeology and Art Publications (coll. Neolithic in Turkey, 1), p. 78-87.
- STORDEUR D. (2014) – Jerf el-Ahmar entre 9500-8700 cal. BC. Un village des débuts de l'agriculture. Une société complexe, in C. Manen, T. Perrin et J. Guilaine (dir.), *La Transition Néolithique en Méditerranée*, Arles, Errance, p. 27-46.
- TAŞKIRAN H., KARTAL M. (2010) – 2008 yılı Ilısu Baraj Gövdesi Alanı 2008 Yüzey Araştırması, 27. *Araştırma Sonuçları Toplantısı*, 3, p. 233-244 [en turc].

**Ergül KODAS**  
Docteur en archéologie préhistorique  
membre associé à l'UMR 7041 ArScAn  
équipe VEPMO  
professeur assistant à l'université de Mardin-Artuklu  
Faculté de littérature, département d'archéologie  
47200 Mardin (Turquie)  
ergulkodas@gmail.com